

東京大学工学部 学生員 ○松原勝己
神戸大学工学部 正員 桜井春輔
神戸市交通局 正員 泉並隆二

1. まえがき

従来より地下鉄板設構造物に対する耐震設計上のチェックは、日本に地盤が多いといふ状況にもかかわらず、ほとんど行なわれていがないのが現状である。そこで、地下鉄板設構造物の地盤時の挙動を定量的に推し計ることが非常に重要な問題であると考える。本報告では、先だって行なわれた研究と基礎として杭端の境界条件を変化させた場合の結果について検討する。また、先の場合には、受衝の圧縮材としての効果は考へず、杭最上部を自由端としたが、本報告において受衝を切架同様の圧縮材として解析した。

2. 構造物の解析 図-1に示すように剛な基盤上に厚さD、平均のN値 N_m の表層と地盤バネとして置き換え、この表層に構造物を設置するものとして解析を行なう。土留杭の根入れ部の支持条件は、固定またはヒンジとし切架、受衝は両端ヒンジのバネとした。このような構造物-地盤系にせん断一次モードにもとづく入力変位を与えて、直接剛性法によって解析を行なうものである。地表加速度 α 、基盤加速度 β との間には、地盤振動特性を表わす金井の式⁽¹⁾を用いて $\alpha = (\sqrt{f_n}/0.2)\beta$ なる関係があるものとする。ただし、地盤固有周期 T_n は地盤運動周期に一致させる。土留杭頂部の集中質量 m は、覆工板および自動車荷重を分配して作用させたものである。表層地盤の諸定数は、せん断波速度 $V_s = 19 N_m^{0.61}$ 、せん断弾性定数 $G = \gamma V_s^2 / 8$ 、地盤バネ定数 $K = \sqrt{2}(1+\nu)G d^{(3)}$ 、地盤の固有周期 $T_n = 4D/V_s$ 、土の内部摩擦角 $\phi = \sqrt{2}N_m + 15$ 、土圧係数 $K_a = 0.8 \tan^2(45^\circ - \phi/2)$ 、諸式を用いて求めた。ここに γ 、 ν 、 V_s 、 d はそれぞれ土の単位体積重量、重力加速度、表層地盤のpoisson比、地盤バネの間隔である。解析結果は、表層厚D、地盤のN値 N_m 、および地表加速度 α 計3つのパラメータで表わされることになる。なお、切架および地盤バネの特性としては、図-2に示されるような非線形のものを仮定した。このバネ特性に反しない結果の算出のために、本報告では、NO-TENSION法⁽²⁾を適用した。対象とした構造物の諸元は、掘削深さ15m、掘削幅10m、土留杭および切架は、H 300×300、受衝はH 900×300で、切架は鉛直方向3m間隔に4段設置した。

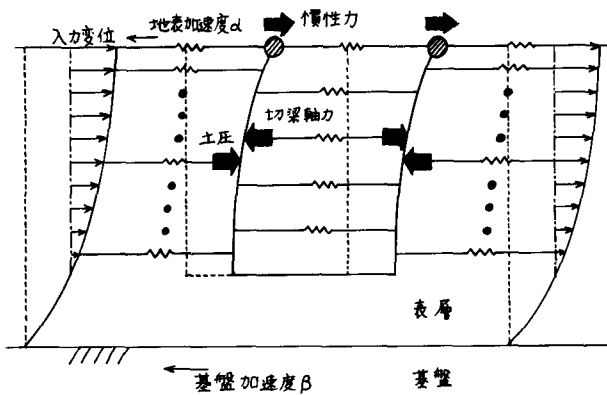


図-1 解析モデル

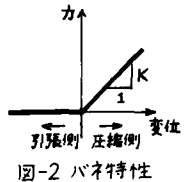


図-2 バネ特性

3. 数値計算結果 数値計算を行なうにあたって、図-3に示すような2種類の地盤振動を入力として与えた。すなわち、両側の地盤に動的変位を与えるものをCASE I、一方の地盤を固定し片側の地盤のみに動的変位を与えるものをCASE IIとする。数値計算結果は図-4から図-13までに示した。図中、横軸に水平に点線で



図-3 地盤変位

両端ヒンジのEulerの座屈応力および曲げ降伏応力が示されておりそれぞれ $1168 kg/cm^2$ 、 $2500 kg/cm^2$ である。また、実線は杭根入れ部固定で受衝を圧縮材として考えるもの、一点錫線は杭根入れ部固定、杭最上端自由の支持条件のもの、破線は杭根入れ部ヒンジ支承で受衝を圧縮材として考えるものを示す。いずれの図もパラメーターは

地表加速度 α である。CASE IとIIの場合について発生する最大の切妻軸応力と地盤のN値および表層厚との関係を図-4から図-7までに示す。ここに最大の切妻軸応力はCASE Iの場合実線で示したもののが第3段切妻、一点鎮線は第1段切妻、破線は第2段切妻にそれそれ発生している。CASE IIの場合にはすべて第1段切妻に最大の切妻軸応力が生じている。図において実線と破線は重なるが、杭根入れ部の支持条件の違いは切妻軸応力に反映していない。CASE Iでは切妻軸応力は常に一定値を示しているが、受術を圧縮材として解析した結果はN値の大きい方で下回りN値の大きい方では逆に若干上回っている。この傾向はCASE IIの場合に顕著に現われている。またCASE IIでは常に大きめの切妻軸応力が得られるN値減率によって軸応力の増加は著しい。これは、表層厚の増加による軸応力の増加がゆるやかであるのに対照的である。以上から切妻軸応力については、CASE IよりもCASE IIの方が不利な場合であること、杭根入れ部の支持条件には依存しないこと、受術の圧縮材としての効果によって軸応力を小さくするのはN値の小さい場合に限られることが挙げられる。次に、杭に発生する最大の曲げ応力と地盤のN値および表層厚との関係を、図-8から図-13に示す。ここで最大の曲げ応力の生ずる位置はCASE Iの場合実線、一点鎮線で示したもののが杭根入れ部、点線は杭のほぼ中央部でありCASE IIの場合にはいずれも第1段切妻附近である。全般的な傾向は切妻軸応力の場合と同様である。杭の根入れ部がヒンジの場合に固定の場合よりもCASE Iで極端に小さい値を示している。それに對しCASE IIではN値が小さい場合にのみ、この傾向が現われている。曲げ応力も受術を圧縮材とすることにより減少が見られるがCASE IではN値にかかわらず一様に減少しているのに対し、CASE IIではN値が小さくなるほど減少の割合は大きい。以上より、杭の曲げ応力については、杭根入れ部の支持条件としてヒンジの方が特にCASE Iで小さい値を示し、受術の効果によりCASE I, IIともに応力を減少させていると言つてよい。

表層厚25m
CASE I

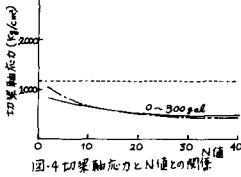


図-4 切妻軸応力とN値との関係

表層厚25m
CASE II

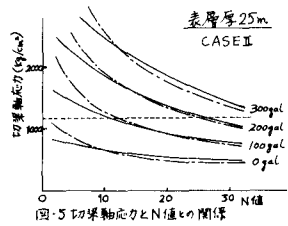


図-5 切妻軸応力とN値との関係

N値10
CASE I

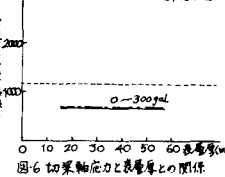


図-6 切妻軸応力と表層厚との関係

N値10
CASE II

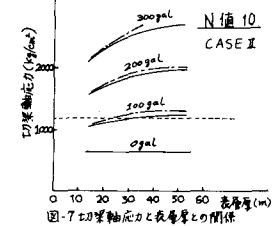


図-7 切妻軸応力と表層厚との関係

表層厚25m
CASE I

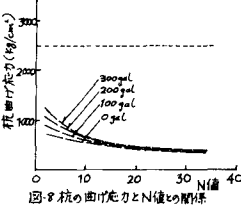


図-8 杭の曲げ応力とN値との関係

表層厚25m
CASE II

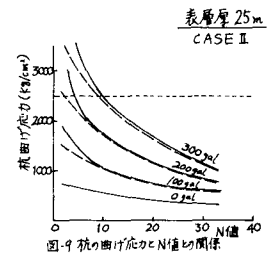


図-9 杭の曲げ応力とN値との関係

表層厚25m
CASE I

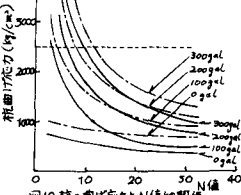


図-10 杭の曲げ応力とN値との関係

表層厚25m
CASE II

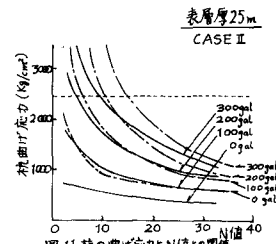


図-11 杭の曲げ応力とN値との関係

N値10
CASE I

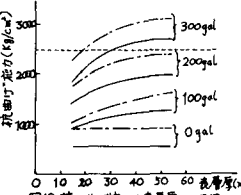


図-12 杭の曲げ応力と表層厚との関係

N値10
CASE II

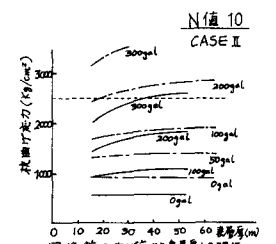


図-13 杭の曲げ応力と表層厚との関係

最後に、本報告を作成する機会を与えて下さった関係各位に深く感謝する次第である。

- 参考文献 (1)泉並、横井：地下鉄板構造物の耐震性について；土木学会関西支部講演会Ⅲ-40 昭和52年5月 (2)金多他：土木建築耐震設計施工 pp39~40 (3)L.Zeevaert: Foundation Engineering for Difficult Subsoil Conditions, 1972, pp.553~570.
(4)O.C.Zienkiewicz: Stress Analysis of Rock as a "No Tension" Material, Geotechnique 18, 1968, pp.56~66